
 КООРДИНАЦИОННЫЕ
 СОЕДИНЕНИЯ

УДК 546.591+547.491+546.162'14+546.185+547.53.024+548.312.2

 ДИЦИАНОДИБРОМОАУРАТЫ АЛКИЛТРИФЕНИЛФОСФОНИЯ
 $[\text{Ph}_3\text{PAIk}][\text{Au}(\text{CN})_2\text{Br}_2]$, Alk = $\text{CH}_2\text{C}_6\text{H}_4(\text{OH})\text{-2}$,
 $\text{CH}_2\text{C}_6\text{H}_{11}\text{-cyclo}$, CH_2Ph , $\text{CH}_2\text{C}_6\text{H}_4\text{CN}\text{-4}$
© 2020 г. В. В. Шарутин^a, О. К. Шарутина^a, Н. М. Тарасова^{a, *}, А. Н. Ефремов^a^aЮжно-Уральский государственный университет, пр-т им. В.И. Ленина, 76, Челябинск, 454080 Россия

*e-mail: tarasovanm@susu.ru

Поступила в редакцию 09.04.2019 г.

После доработки 08.05.2019 г.

Принята к публикации 29.09.2019 г.

Из дицианодибромоаурата калия и хлоридов алкилтрифенилфосфония в воде синтезированы кристаллические комплексы желтого цвета $[\text{Ph}_3\text{PAIk}][\text{Au}(\text{CN})_2\text{Br}_2]$, где Alk = $\text{CH}_2\text{C}_6\text{H}_4(\text{OH})\text{-2}$ (I), $\text{CH}_2\text{C}_6\text{H}_{11}\text{-cyclo}$ (II · 1/2PhH), CH_2Ph (III), $\text{CH}_2\text{C}_6\text{H}_4\text{CN}\text{-4}$ (IV), строение которых установлено методом рентгеноструктурного анализа. В кристаллах I–IV присутствуют тетраэдрические катионы алкилтрифенилфосфония (CPC 104.8(2)°–114.1(2)°, P–C 1.782(6)–1.825(5) Å). В квадратных анионах $[\text{Au}(\text{CN})_2\text{Br}_2]^-$ транс-углы CAuC и BrAuBr равны 178.8(2)°–180.0(5)° и 178.38(3)°–180.00(3)°, связи Au–C и Au–Br – 2.001(7)–2.205(9) Å и 2.4086(14)–2.4276(18) Å соответственно. В формировании структуры кристаллов участвуют слабые водородные связи N···H–C и прочные связи N···H–O в комплексе I, контакты Br···H–C в кристаллах дицианодибромидов I, III и IV.

Ключевые слова: дицианодигалогениды органилтрифенилфосфония, синтез, рентгеноструктурный анализ

DOI: 10.31857/S0044457X20020154

ВВЕДЕНИЕ

В настоящее время интерес исследователей вызывают комплексы дицианидов металлов в связи с их использованием при получении полупроводниковых и оптических и магнитно-активных материалов, которые приобретают при этом разнообразные свойства [1–7]. Кроме того, некоторые из них являются препаратами-метаболитами лекарств на основе Au(I) [8]. Формирование олигомерных структур из анионов $[\text{Au}(\text{CN})_2]^-$ приводит к появлению люминесцентных свойств [4, 9–12]. Однако комплексы дицианодигалогенидов с различными катионами, демонстрирующие подобные свойства [13–15], мало исследованы. Известно несколько цианидных комплексов Au(I) [16, 17] и цианодигалогенидных комплексов Au(III) с аммонийными катионами [18–21], однако информация о комплексах $[\text{Kat}]^+[\text{Au}(\text{CN})_2\text{Hal}_2]^-$ с элементоорганическими катионами в литературе отсутствует.

С целью установления особенностей синтеза и строения дицианодибромоауратных комплексов тетраорганилфосфония в настоящей работе впервые синтезированы и структурно охарактеризованы дицианодибромоаураты алкилтрифенилфосфония $[\text{Ph}_3\text{PAIk}][\text{Au}(\text{CN})_2\text{Br}_2]$, где Alk = $\text{CH}_2\text{C}_6\text{H}_4(\text{OH})\text{-2}$ (I),

 $\text{CH}_2\text{C}_6\text{H}_{11}\text{-cyclo}$ (II · 1/2PhH), CH_2Ph (III), $\text{CH}_2\text{C}_6\text{H}_4\text{CN}\text{-4}$ (IV).

ЭКСПЕРИМЕНТАЛЬНАЯ ЧАСТЬ

$[\text{Au}(\text{CN})_2\text{Br}_2]$ получали по методике [18], комплексы I–IV – смешением водных растворов хлоридов алкилтрифенилфосфония с раствором дицианодибромида калия [17].

$[\text{Ph}_3\text{PCH}_2\text{C}_6\text{H}_4(\text{OH}-2)]^+[\text{Au}(\text{CN})_2\text{Br}_2]^-$ (I) кристаллизовали из 13 мл смеси MeCN с *i*-PrOH (8 : 5). При медленном испарении растворителя наблюдали образование ярко-желтых кристаллов. Выход 95%, $t_{\text{пл}} = 160.1^\circ\text{C}$. ИК-спектр (ν , cm^{-1}): 3267 (OH), 3055 ($\text{C}_{\text{Ar}}\text{—H}$); 2931, 2902, 2852, 2179 (CN); 1909, 1822, 1788, 1597, 1585, 1510, 1502, 1483, 1456, 1436 (P–Ph); 1382, 1359 ($\text{C}_{\text{Ar}}\text{—OH}$); 1315 ($\text{C}_{\text{Ar}}\text{—OH}$); 1274, 1247, 1234 ($\text{C}_{\text{Ar}}\text{—OH}$); 1178 ($\text{C}_{\text{Ar}}\text{—OH}$); 1159 ($\text{C}_{\text{Ar}}\text{—OH}$); 1111, 1087, 1043, 1026, 999 (P–Ph); 935, 867, 860, 815, 771, 758, 750, 723, 709, 690, 655, 615, 599, 553, 518, 503, 497, 489, 449, 428.

	C	H
Найдено, %:	41.59;	2.90.
Для $\text{C}_{27}\text{H}_{22}\text{AuBr}_2\text{N}_2\text{OP}$		
вычислено, %:	41.67;	2.86.

Аналогично синтезировали соединения II–IV (в случае соединения II вместо *i*-PrOH добавляли 5 мл бензола).

[Ph₃PC₆H₁₀-*cyclo*][Au(CN)₂Br₂] (II) · 1/2C₆H₆: желтые кристаллы, выход 89%, *t*_{пл} = 188.5°C. ИК-спектр (ν , см⁻¹): 3086 (C_{Ar}—H); 3057 (C_{Ar}—H); 3030 (C_{Ar}—H); 2935, 2897, 2856, 2210 (CN); 2176 (CN); 1973, 1826, 1587, 1485, 1454 (P—Ph); 1438 (P—Ph); 1340, 1323, 1298, 1271, 1215, 1193, 1176, 1163, 1122, 1109, 1026, 997 (P—Ph); 918, 887, 850, 823, 748, 723, 690, 543, 526, 516, 497, 464, 449, 426.

	C	H
Найдено, %:	43.80;	3.72.
Для C ₂₉ H ₂₉ AuBr ₂ N ₂ P		
вычислено, %:	43.90;	3.69.

[Ph₃PCH₂Ph][Au(CN)₂Br₂] (III): желтые кристаллы, выход 91%, *t*_{пл} = 166.2°C. ИК-спектр (ν , см⁻¹): 3062 (C_{Ar}—H); 3039 (C_{Ar}—H); 2949, 2912, 2852, 2214 (CN); 2168 (CN); 1982, 1913, 1832, 1600, 1585, 1573, 1496, 1485, 1456 (P—Ph); 1436 (P—Ph); 1400, 1336, 1317, 1232, 1188, 1159, 1134, 1111, 1070, 1028, 997 (P—Ph); 972, 916, 850, 831, 785, 756, 750, 719, 696, 688, 580, 513, 503, 497, 449, 424.

	C	H
Найдено, %:	42.48;	2.93.
Для C ₂₇ H ₂₂ AuBr ₂ N ₂ P		
вычислено, %:	42.54;	2.92.

[Ph₃PCH₂—C₆H₄—CN-4][Au(CN)₂Br₂] (IV): желтые кристаллы, выход 93%, *t*_{пл} = 155.3°C.

ИК-спектр (ν , см⁻¹): 3088 (C_{Ar}—H); 3062 (C_{Ar}—H); 3039 (C_{Ar}—H); 2951, 2910, 2852, 2239 (Ph—CN); 2227 (Ph—CN); 2166 (CN); 1606, 1587, 1506, 1483, 1436 (P—Ph); 1406, 1340, 1321, 1236, 1188, 1163, 1141, 1111, 1024, 997, 850, 839, 829, 771, 746, 736, 719, 688, 563, 528, 503, 493, 466, 449, 422.

	C	H
Найдено, %:	42.58;	2.76.
Для C ₂₈ H ₂₁ AuBr ₂ N ₃ P		
вычислено, %:	42.72;	2.69.

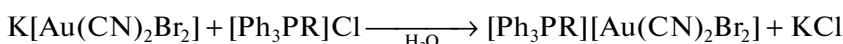
Дифференциальную сканирующую калориметрию (ДСК) соединений I–IV проводили на комплексе синхронного термического анализа Netzsch 449C Jupiter.

ИК-спектры (400–4000 см⁻¹) комплексов I–IV регистрировали на ИК-фурье-спектрометре Shimadzu IR Affinity-1S (таблетирование с KBr).

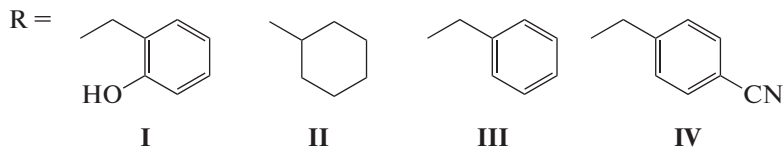
РСА (дифрактометр Bruker D8 QUEST, MoK_α-излучение, λ = 0.71073 Å, графитовый монохроматор) кристаллов I–IV (CCDC 1899748 (I), 1899750 (II · 1/2PhH), 1899752 (III), 1899758 (IV); deposit@ccdc.cam.ac.uk; http://www.ccdc.cam.ac.uk) проводили при 296(2) К с использованием для обработки данных программ SMART и SAINT-Plus [22], SHELLXL/PC [23], OLEX2 [24].

РЕЗУЛЬТАТЫ И ОБСУЖДЕНИЕ

Комpleксы соединений I–IV моментально образовывались при смешении водных растворов соответствующих солей:



I–IV



После удаления воды и кристаллизации вещества из смеси MeCN с *i*-PrOH (8 : 5) или бензolem (для комплекса II · 1/2PhH) (8 : 5) получали прозрачные кристаллы желтого цвета. Выделенные кристаллы устойчивы на воздухе, хорошо растворяются в хлороформе, дихлорметане и ацетонитриле, не растворяются в воде и спиртах при комнатной температуре. Из данных ДСК следует, что все соединения стабильны до 150°C. На кривых ДСК соединений I, III, IV присутствуют эндотермические пики плавления комплексов при

160.1, 166.2 и 155.3°C соответственно. Для комплекса II · 1/2PhH наблюдается эндотермический пик при 103.8°C, соответствующий разложению сольваты II · 1/2PhH с потерей массы ~4%, а также эндотермический пик плавления при 188.5°C без уменьшения массы.

Известно, что полосы поглощения цианогрупп органических и неорганических соединений вследствие отсутствия значительного влияния окружения на колебания этих связей находятся в достаточно узком интервале: 2200–2000 см⁻¹ [25]

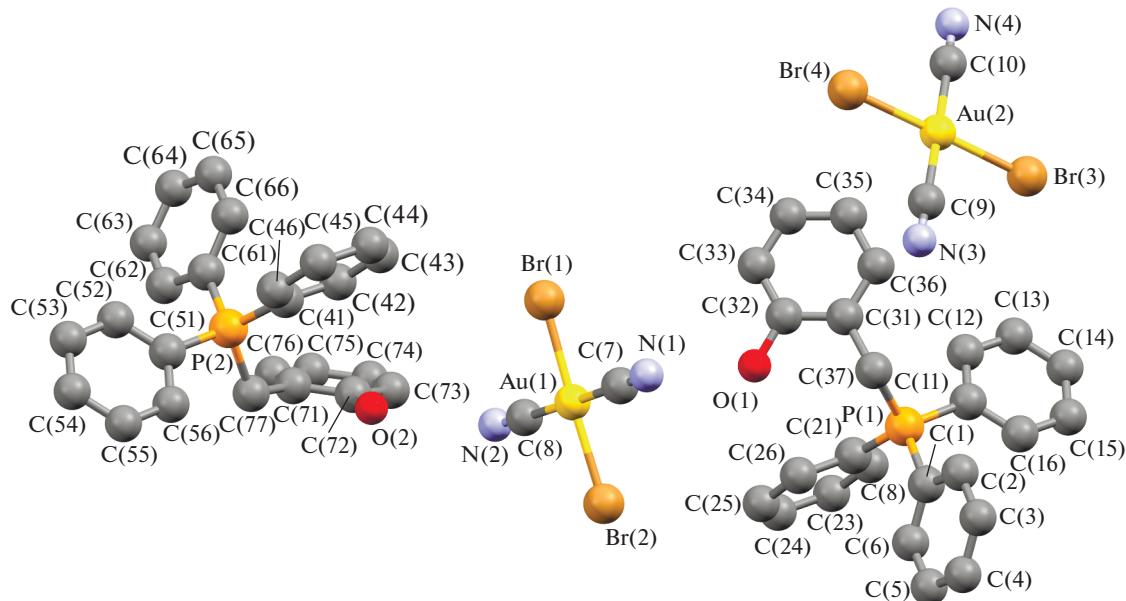


Рис. 1. Общий вид комплекса I (атомы водорода не показаны).

и легко обнаруживаются в ИК-спектрах. Также отмечается, что для дицианопроизводных Au(III) наблюдается значительное снижение интенсивности данных полос поглощения по сравнению с дицианопроизводными Au(I) [26, 27]. Так, для соединений I–III полосы валентных колебаний CN-групп имеют низкую интенсивность и располагаются при 2179, 2210; 2176, 2214 и 2168 см⁻¹ соответственно. Для комплекса IV наблюдается полоса средней интенсивности при 2239 см⁻¹, относящаяся, очевидно, к цианогруппе ароматического кольца катиона, а также слабые полосы цианогрупп аниона при 2227 и 2166 см⁻¹. Колебаниям связей P–C_{Ar} в спектрах соединений I, II · 1/2PhH, III, IV соответствуют полосы при 1436, 1438, 1436, 1436 см⁻¹, попадающие в область 1450–1435 см⁻¹, охарактеризованную ранее для подобных производных [25]. Кроме того, в спектре I наблюдается полоса поглощения при 3267 см⁻¹, связанная с валентными колебаниями OH-группы, и ряд полос, отвечающих колебаниям связи C–OH, наиболее интенсивными из которых являются полосы при 1234, 1315 и 1359 см⁻¹ [25].

Несмотря на похожее строение молекул и общую для всех комплексов I–IV триклиническую сингонию (табл. 1), имеются существенные отличия в их кристаллической структуре. Для соединения I характерны два типа кристаллографически независимых катионов [Ph₃PR]⁺ и мономерных дицианодибромоауратных анионов, а для соединений II · 1/2PhH–IV – катионы алкилтрифенилфосфония и по два типа центросимметричных кристаллографически независимых анионов. Анионы первого типа участвуют в образовании

решеток кристаллов, располагаясь на ребрах и по центру граней кристаллических ячеек соединений II · 1/2PhH и III соответственно и образуя водородные связи с катионами. Анионы второго типа удалены от других частиц в решетке и не образуют с ними контактов, располагаясь в узлах (I) и на гранях (III) кристаллической ячейки. Кроме того, дибромдицианопроизводное II · 1/2PhH содержит сольватные молекулы бензола, не участвующие в формировании кристаллической структуры (рис. 1–4).

Геометрия атомов фосфора в катионах несколько искажена и отличается от тетраэдрической: углы СPC испытывают отклонения от теоретического значения и составляют 104.8(2)°–114.1(2)°, 105.2(2)°–113.0(2)° (I), 106.0(3)°–110.8(3)° (II · 1/2PhH), 106.8(3)°–110.8(3)° (III), 107.44(17)°–111.44(18)° (IV); длины связей P–C_{Ph} (1.791(5)–1.800(5), 1.790(4)–1.796(5) Å (I), 1.791(6)–1.799(6) Å (II · 1/2PhH), 1.782(6)–1.811(7) Å (III), 1.792(4)–1.797(4) Å (IV)) близки между собой, как и расстояния P–C_{Alk} (1.825(5), 1.825(4) Å (I), 1.806(7) Å (II · 1/2PhH), 1.799(7) Å (III), 1.818(4) Å (IV)). Связи золото–углерод в анионах [Au(CN)₂Br₂]⁻ отклоняются от линейной конфигурации, углы CAuC равны 179.0(2)°, 178.8(2)° (I), 180.0(5)°, 180.0(5)° (II · 1/2PhH), 180.0(5)°, 179.999(1)° (III), 180.0(4)°, 179.999(1)° (IV). Расстояния Au–C в анионах I отличаются друг от друга существенно: 2.009(6), 2.205(9) Å и 2.015(7), 2.001(7) Å. В центросимметричных анионах длины связей Au–C (2.070(8), 2.070(8) и 2.142(8) в II · 1/2PhH, 2.065(8), 2.065(8) и

Таблица 1. Кристаллографические данные, параметры эксперимента и уточнения структур I–IV

Параметр	Значение			
	I	II · 1/2PhH	III	IV
<i>M</i>	778.21	793.30	762.22	787.23
Сингония	Триклиновая	Триклиновая	Триклиновая	Триклиновая
Пр. гр.	<i>P</i> 	<i>P</i> 	<i>P</i> 	<i>P</i> 
<i>a</i> , Å	12.672(9)	7.834(7)	9.726(8)	10.452(5)
<i>b</i> , Å	12.729(7)	9.857(9)	11.636(9)	10.699(8)
<i>c</i> , Å	18.303(9)	20.990(15)	13.549(10)	13.798(7)
α , град	105.14(2)	94.58(3)	67.30(3)	69.05(3)
β , град	102.34(3)	97.06(3)	71.11(3)	74.741(19)
γ , град	104.72(3)	110.96(4)	70.08(3)	78.23(3)
<i>V</i> , Å ³	2629(3)	1489(2)	1296.9(17)	1379.8(14)
<i>Z</i>	2	2	2	2
$\rho_{\text{выч}}$, г/см ³	1.966	1.770	1.952	1.895
μ , мм ⁻¹	8.718	7.699	8.833	8.306
<i>F</i> (000)	1480.0	762.0	724.0	748.0
Размер кристалла, мм	0.24 × 0.16 × 0.08	0.2 × 0.15 × 0.08	0.44 × 0.14 × 0.1	0.13 × 0.13 × 0.1
Область сбора данных по 2θ, град	5.86–61.14	5.76–54.72	6.24–56.84	5.98–64.24
Интервалы индексов отражений	−18 ≤ <i>h</i> ≤ 18, −18 ≤ <i>k</i> ≤ 18, −26 ≤ <i>l</i> ≤ 26	−9 ≤ <i>h</i> ≤ 10, −12 ≤ <i>k</i> ≤ 12, −26 ≤ <i>l</i> ≤ 26	−13 ≤ <i>h</i> ≤ 12, −15 ≤ <i>k</i> ≤ 15, −18 ≤ <i>l</i> ≤ 18	−15 ≤ <i>h</i> ≤ 15, −15 ≤ <i>k</i> ≤ 15, −20 ≤ <i>l</i> ≤ 20
Измерено отражений	160 074	31 522	36 900	89 930
Независимых отражений	16 036 (<i>R</i> _{int} = 0.0790)	6 627 (<i>R</i> _{int} = 0.0515)	6 469 (<i>R</i> _{int} = 0.0448)	9 619 (<i>R</i> _{int} = 0.0848)
Отражений с <i>I</i> > 2σ(<i>I</i>)	10 766	4 665	4 808	5 517
Переменных уточнения	615	319	301	319
<i>GOOF</i>	1.023	1.071	1.116	1.012
<i>R</i> -факторы по <i>F</i> ² > 2σ(<i>F</i> ²)	<i>R</i> ₁ = 0.0415, <i>wR</i> ₂ = 0.0728	<i>R</i> ₁ = 0.0385, <i>wR</i> ₂ = 0.0836	<i>R</i> ₁ = 0.0440, <i>wR</i> ₂ = 0.1056	<i>R</i> ₁ = 0.0454, <i>wR</i> ₂ = 0.0657
<i>R</i> -факторы по всем отражениям	<i>R</i> ₁ = 0.0849, <i>wR</i> ₂ = 0.0860	<i>R</i> ₁ = 0.0686, <i>wR</i> ₂ = 0.0933	<i>R</i> ₁ = 0.0687, <i>wR</i> ₂ = 0.1166	<i>R</i> ₁ = 0.1178, <i>wR</i> ₂ = 0.0795
Остаточная электронная плотность (max/min), <i>e</i> /Å ³	2.89/−2.04	0.87/−1.42	2.58/−1.26	0.67/−0.92

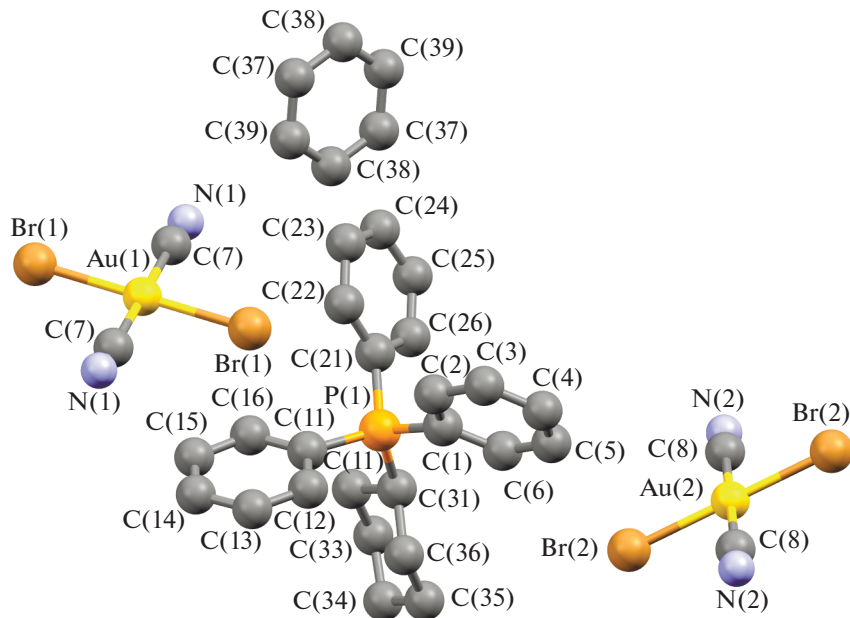


Рис. 2. Общий вид комплекса II · 1/2PhH.

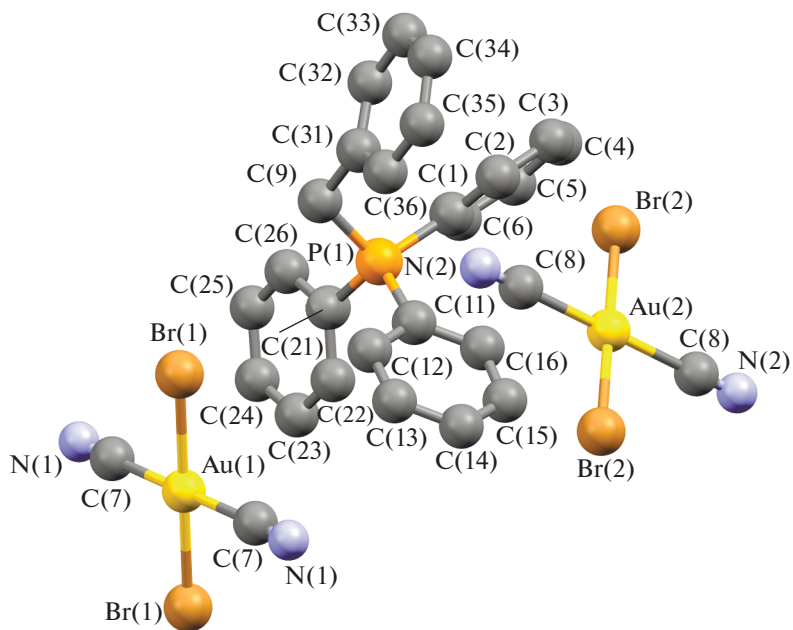


Рис. 3. Общий вид комплекса III.

2.065(10), 2.065(10) в III, 2.065(8), 2.065(8) и 2.065(10), 2.065(10) Å в IV) близки к сумме ковалентных радиусов атомов (2.05 Å [28]). Длины связей Au—Br в дицианодибромоауратных анионах равны 2.4086(14)–2.4259(16) Å (I), 2.412(2)–2.4276(18) Å (II · 1/2PhH),

2.412(2)–2.4228(18) Å (III), 2.4138(13)–2.4254(12) Å (IV).

Ассоциация анионов за счет контактов Au···Au и Au···Br···Au [13, 14] в кристаллах отсутствует, что, вероятно, объясняется большим объемом

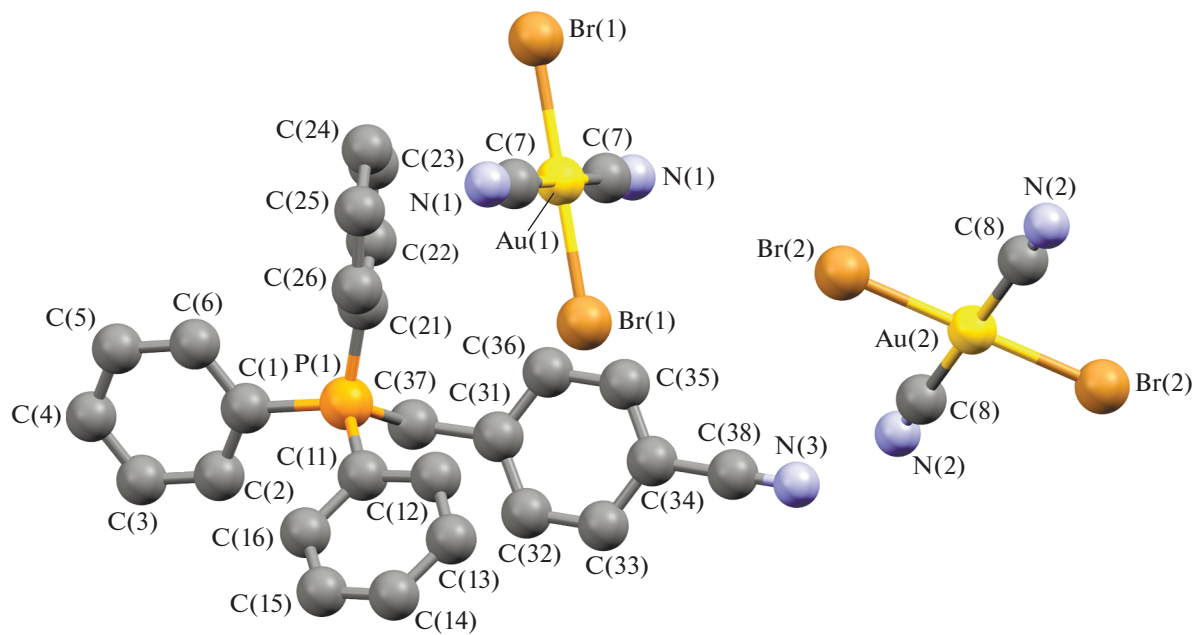
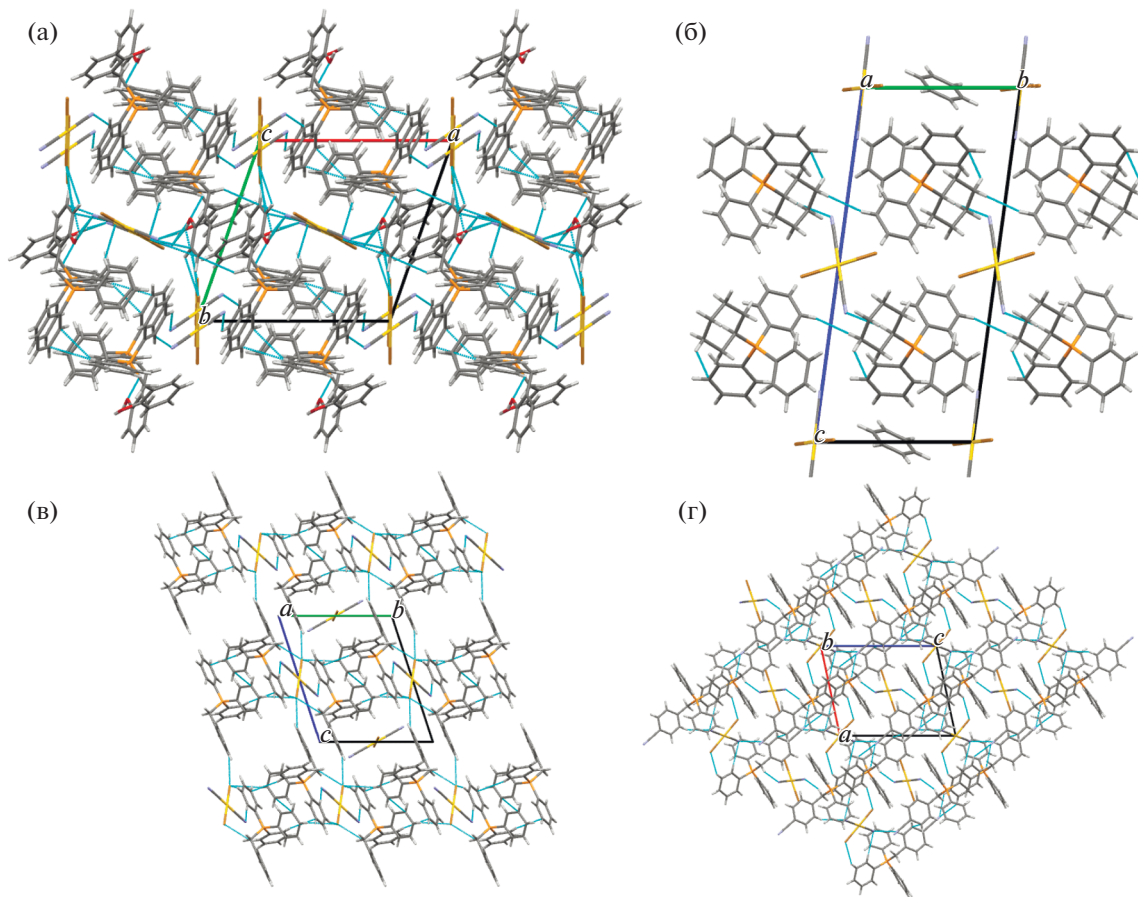


Рис. 4. Общий вид комплекса IV.

Рис. 5. Вид кристаллической упаковки комплекса I вдоль оси *c* (а), комплексов II (б) и III (в) вдоль оси *a*, комплекса IV вдоль оси *b* (г).

фосфорорганических катионов, исключающим возможность сближения анионов и образования из них полимерных цепей. Слабые взаимодействия $N\cdots H-C$ между катионами и анионами ($2.00-2.65 \text{ \AA}$ (I), 2.53 \AA (II · $1/2\text{PhH}$), 2.69 \AA (III), $2.54-2.85 \text{ \AA}$ (IV)) и $\text{Br}\cdots \text{H}-\text{C}$ ($2.80-3.20 \text{ \AA}$ (I), $2.93-3.03 \text{ \AA}$ (III), 2.85 \AA (IV)) структурируют их в единое целое. Кроме того, за формирование структуры комплекса I отвечают контакты $\text{Br}\cdots \text{C}_{\text{Ar}}$ (3.41 \AA) и прочные водородные связи аниона с гидроксильной группой катиона $N\cdots H-O$ (2.05 \AA , 77% от суммы ван-дер-ваальсовых радиусов) [29] (рис. 5а–5г). Наименьшее число контактов наблюдается в кристалле комплекса II · $1/2\text{PhH}$, решетка которого характеризуется наименее плотной упаковкой: $\rho_{\text{выч}} = 1.770 \text{ г}/\text{см}^3$. Анионы данного комплекса, в отличие от остальных, не образуют контактов $\text{Br}\cdots \text{H}-\text{C}$. Более плотная упаковка наблюдается у дицианодибромидов I и III: $\rho_{\text{выч}} = 1.966$ и $1.952 \text{ г}/\text{см}^3$ соответственно. Плотность кристаллической упаковки соединения IV составляет $\rho_{\text{выч}} = 1.895 \text{ г}/\text{см}^3$.

ЗАКЛЮЧЕНИЕ

В кристаллах дицианодибромоауратных комплексов алкилтрифенилфосфония, синтезированных из $[\text{Ph}_3\text{PAalk}]Cl$ и $K[\text{Au}(\text{CN})_2\text{Br}_2]$ в воде, дицианодибромоаурат-анионы мономерны. Структура кристаллов сформирована за счет водородных связей катионов с анионами.

ФИНАНСИРОВАНИЕ РАБОТЫ

Южно-Уральский государственный университет благодарит за финансовую поддержку Министерство науки и высшего образования Российской Федерации (грант № 4.6151.2017/8.9).

КОНФЛИКТ ИНТЕРЕСОВ

Авторы заявляют, что у них нет конфликта интересов.

СПИСОК ЛИТЕРАТУРЫ

1. Xiaobo L., Patterson H. // Materials. 2013. V. 6. P. 2595. <https://doi.org/10.3390/ma6072595>
2. Dechambenoit P., Ferlay S., Kyritsakas N. et al. // Cryst. Eng. Comm. 2011. V. 13. P. 1922. <https://doi.org/10.1039/C0CE00607F>
3. Hill J.A., Thompson A.L., Goodwin A.L. // J. Am. Chem. Soc. 2018. V. 138. P. 5886. <https://doi.org/10.1021/jacs.5b13446>
4. Assefaa Z., Haireb R.G., Sykorac R.E. // J. Solid State Chem. 2008. V. 181. P. 382. <https://doi.org/10.1016/j.jssc.2007.11.036>
5. Brown M.L., Ovens J.S., Leznoff D.B. // Dalton Trans. 2017. V. 46. P. 7169. <https://doi.org/10.1039/C7DT00942A>
6. Chorazy S., Wycesany M., Sieklucka B. // Molecules. 2017. V. 22. P. 1902. <https://doi.org/10.3390/molecules22111902>
7. Shaw C.F. // Chem. Rev. 1999. V. 99. № 9. P. 2589. <https://doi.org/10.1021/cr980431o>
8. Rawashdeh-Omary M.A., Omary M.A., Patterson H.H. // J. Am. Chem. Soc. 2000. V. 122. № 42. P. 10371. <https://doi.org/10.1021/ja001545w>
9. Rawashdeh-Omary M.A., Omary M.A., Shankle G.E. et al. // J. Phys. Chem. B. 2000. V. 104. № 26. P. 6143. <https://doi.org/10.1021/jp000563x>
10. Colis J.C.F., Larochelle C., Fernández E.J. et al. // J. Phys. Chem. B. 2005. V. 109. № 10. P. 4317. <https://doi.org/10.1021/jp045868g>
11. Assefaa Z., Kalachnikova K., Haireb R.G. et al. // J. Solid State Chem. 2007. V. 180. P. 3121. <https://doi.org/10.1016/j.jssc.2007.08.032>
12. Roberts R.J., Le D., Leznoff D.B. // Inorg. Chem. 2017. V. 56. № 14. P. 7948. <https://doi.org/10.1021/acs.inorgchem.7b00735>
13. Ovens J.S., Leznoff D.B. // Dalton Trans. 2011. V. 40. P. 4140. <https://doi.org/10.1039/c0dt01772h>
14. Ovens J.S., Truong K.N., Leznoff D.B. // Dalton Trans. 2012. V. 41. P. 1345. <https://doi.org/10.1039/c1dt11741f>
15. Ovens J.S., Leznoff D.B. // Chem. Mater. 2015. V. 27. № 5. 1465. <https://doi.org/10.1021/cm502998w>
16. Cambridge Crystallographic Data Center. 2018. deposit@ccdc.cam.ac.uk; http://www.ccdc.cam.ac.uk
17. Sharutin V.V., Popkova M.A., Tarasova N.M. // Bulletin of the South Ural State University. Ser. Chemistry. 2018. V. 10. № 1. P. 55. [Шарутин В.В., Попкова М.А., Тарасова Н.М. // Вестник Южно-Уральского гос. ун-та. Сер. “Химия”. Т. 10. № 1. С. 55.] <https://doi.org/10.14529/chem180107>
18. Ovens J.S., Geisheimer A.R., Bokov A.A. et al. // Inorg. Chem. 2010. V. 49. P. 9609. <https://doi.org/10.1021/ic101357y>
19. Pitteri B., Bortoluzzi M., Bertolasi V. // Trans. Met. Chem. 2008. V. 33. P. 649. <https://doi.org/10.1007/s11243-008-9092-9>
20. Marangoni G., Pitteri B., Bertolasi V. et al. // J. Chem. Soc., Dalton Trans. 1987. № 1. P. 2235. <https://doi.org/10.1039/DT9870002235>
21. Ovens J.S., Truong K.N., Leznoff D.B. // Inorg. Chim. Acta. 2013. V. 403. P. 127. <https://doi.org/10.1016/j.ica.2013.02.011>
22. Bruker (1998). SMART and SAINT-Plus. Versions 5.0. Data Collection and Processing Software for the SMART System. Bruker AXS Inc., Madison, Wisconsin, USA.

23. Bruker (1998). SHELXTL/PC. Versions 5.10. An Integrated System for Solving, Refining and Displaying Crystal Structures from Diffraction Data. Bruker AXS Inc., Madison, Wisconsin, USA.
24. Dolomanov O.V., Bourhis L.J., Gildea R.J. et al. // J. Appl. Crystallogr. 2009. V. 42. P. 339.
<https://doi.org/10.1107/S0021889808042726>
25. Преч Э., Бюльманн Ф., Аффольтер К. Определение строения органических соединений. М.: Мир, 2006. 440 с.
26. Jones L. // Inorg. Chem. 1964. V. 3. № 11. P. 1581.
<https://doi.org/10.1021/ic50021a024>
27. Shorrock C.J., Jong H., Batchelor R.J. et al. // Inorg. Chem. 2003. V. 42. P. 3917.
<https://doi.org/10.1021/ic034144>
28. Cordero B., Gómez V., Platero-Prats A.E. et al. // Dalton Trans. 2008. P. 2832.
<https://doi.org/10.1039/b801115j>
29. Mantina M., Chamberlin A.C., Valero R. et al. // J. Phys. Chem. A. 2009. V. 113. P. 5806.
<https://doi.org/10.1021/jp8111556>